

Pokročilé disperzní modely v optice tenkých vrstev

Lekce 4: Univerzální disperzní model amorfních pevných látek – aplikace na elipsometrická a spektrofotometrická měření HfO_2 vrstvy v rozsahu 0.0086-10.8 eV

Daniel Franta

Ústav fyzikální elektroniky, Přírodovědecká fakulta, Masarykova univerzita

jaro 2014

Obsah

- 1 Oblast použitelnosti modelu
- 2 Sumační pravidlo
- 3 Experiment: odezva od elektronů – elipsometrie NIR–VUV
- 4 Experiment: odezva od fononů – propustnost FIR–NIR
- 5 Experiment: odrazivost UV–VUV
- 6 Shrnutí

Oblast použitelnosti modelu

- Model je navržen tak aby popsal dielektrickou funkci libovolné amorfnní pevné látky na základě našeho nového konceptu publikovaného v Thin Solid Films.^{1 2 3 4 5}
- Lze použít pro popis libovolné neuspořádané látky, jako jsou polykrystaly a kapaliny. Všude kde je možný popis dielektrické odezvy pomocí středních polí (dielektrická funkce).
- Správný název by tedy měl znít *Univerzální disperzní model neuspořádaných kondenzovaných látek*
- Popisovaný model lze dokonce použít i pro uspořádané látky včetně monokrystalů, ale není to moc efektivní. Použití je mnohem efektivnější, než použití klasických modelů (DHO, Drude model).
- V této přednášce budeme model demonstrovat na optické charakterizaci HfO₂ vrstvy deponované na oboustranně leštěném křemíku.

¹ D. Franta, D. Nečas, L. Zajíčková, Application of Thomas–Reiche–Kuhn sum rule to construction of advanced dispersion models, Thin Solid Films 534 (2013) 432–441

² D. Franta, D. Nečas, L. Zajíčková, I. Ohlídal, J. Stuchlík, D. Chvostová, Application of Sum Rule to the Dispersion Model of Hydrogenated Amorphous Silicon, Thin Solid Films 539 (2013) 233–244

³ D. Franta, D. Nečas, L. Zajíčková, I. Ohlídal, J. Stuchlík, Advanced modeling for optical characterization of amorphous hydrogenated silicon films, Thin Solid Films 541 (2013) 12–16

⁴ D. Franta, D. Nečas, L. Zajíčková, I. Ohlídal, Broadening of dielectric response and sum rule conservation, Thin Solid Films (in print)

⁵ D. Franta, D. Nečas, L. Zajíčková, I. Ohlídal, Utilization of the Sum Rule for Construction of Advanced Dispersion Model of Crystalline Silicon Containing Interstitial Oxygen, Thin Solid Films (in print)

Obsah

- 1 Oblast použitelnosti modelu
- 2 Sumační pravidlo**
- 3 Experiment: odezva od elektronů – elipsometrie NIR–VUV
- 4 Experiment: odezva od fononů – propustnost FIR–NIR
- 5 Experiment: odrazivost UV–VUV
- 6 Shrnutí

Sumační pravidlo

Sumační pravidlo svazuje hustotu látky s dielektrickou odezvou:

$$\rho = 9680 \text{ kg/m}^3 \quad \Rightarrow \quad N = \int_0^{\infty} F(E) dE = n_e N_a \mathcal{U} = \frac{72 + 2 \cdot 8}{3} 180 \cdot 1.000231 = 5280 \text{ eV}^2$$

- N celková síla přechodů (total transition strength)
- $F(E) \approx \epsilon_i(E)E$ je funkce síly přechodů (transition strength function)
- n_e průměrný počet elektronů na atom
- N_a parametr hustoty (density parameter); $N_a = \mathcal{M}\mathcal{N}_a$
- \mathcal{U} korekce příspěvku od jader

Většina sumy N má původ v excitacích elektronů, od jader je jen $2.31 \times 10^{-4}N$.

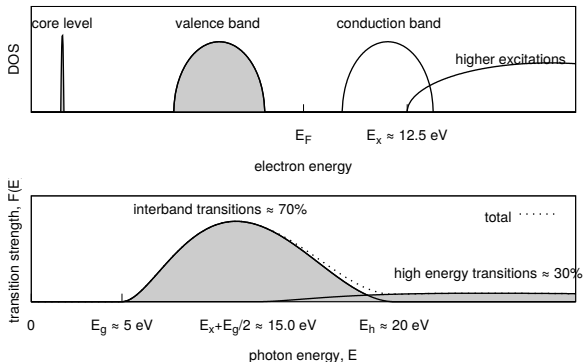
Přechody od jaderných elektronů jsou nám optickými metodami běžně nedostupné a mají jen malý vliv na dielektrickou funkci v UV-VIS spektrálním oboru.

8 el.	Hf – 4f _{7/2}	-14.2 eV
6 el.	Hf – 4f _{5/2}	-15.9 eV
2 el.	O – 2s	-22 eV

Elektronová odezva

V případě univerzálního modelu místo N_a používáme jako fitovací parametr N , tedy celkovou sumu. V případě zanedbání excitací jaderných elektronů odpovídá excitacím valenčních elektronů. Pro HfO_2 má hodnotu:

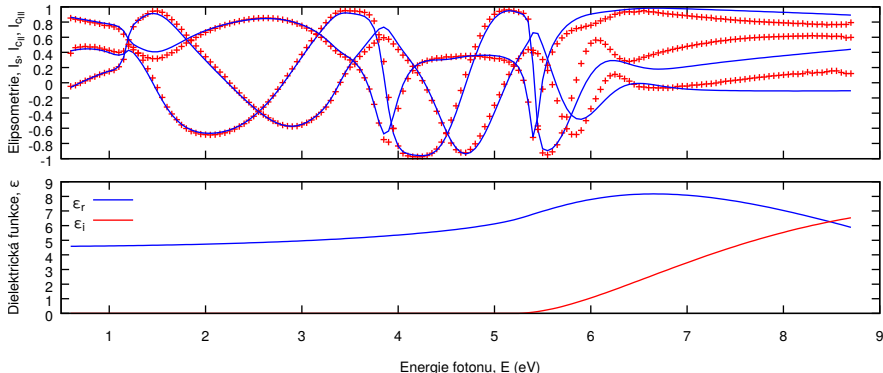
$$N \approx N_{ve} \approx n_{ve} N_a = \frac{4 + 2 \cdot 6}{3} 180 = 5.33 \cdot 180 = 960 \text{ eV}^2$$



Obsah

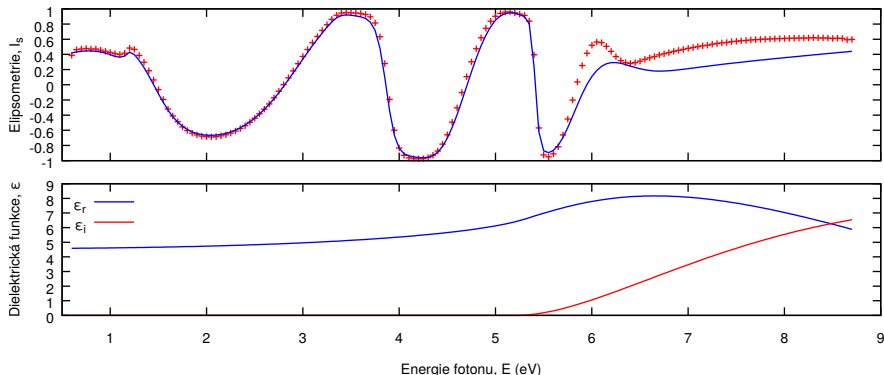
- 1 Oblast použitelnosti modelu
- 2 Sumační pravidlo
- 3 Experiment: odezva od elektronů – elipsometrie NIR–VUV**
- 4 Experiment: odezva od fononů – propustnost FIR–NIR
- 5 Experiment: odrazivost UV–VUV
- 6 Shrnutí

Experiment: odezva od elektronů – fit #1



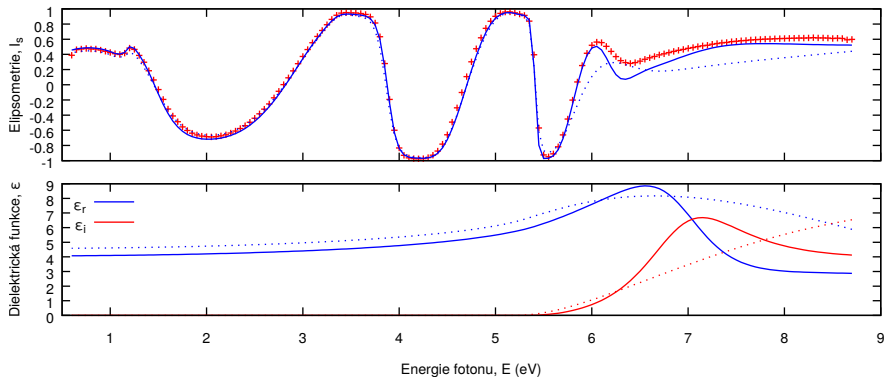
Dielektrická odezva od valenčních elektronů vrstvy je v rámci našeho modelu popsána 5 základními disperzními parametry a tloušťkou (2 nm SiO₂ přechodová vrstva, 0.38 nm c-Si) volné: $E_g = 5.21$ eV, $E_h = 20.5$ eV, $d_f = 108$ nm
 fixováno: $N = 960$ eV², $E_x = 12.5$ eV, $\alpha_x = 0.3$
 kvalita fitu: $\chi_E: 26.1$

Experiment: odezva od elektronů – fit #1



Dielektrická odezva od valenčních elektronů vrstvy je v rámci našeho modelu popsána 5 základními disperzními parametry a tloušťkou (2 nm SiO₂ přechodová vrstva, 0.38 mm c-Si) volné: $E_g = 5.21$ eV, $E_h = 20.5$ eV, $d_f = 108$ nm
 fixováno: $N = 960$ eV², $E_x = 12.5$ eV, $\alpha_x = 0.3$
 kvalita fitu: $\chi_E: 26.1$ (špatně nafitovaná oblast $E > E_g$)

Experiment: odezva od elektronů – fit #2

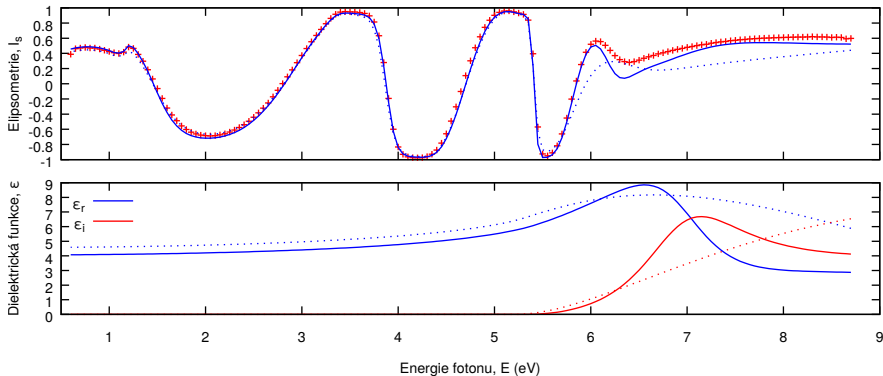


volné“ $E_g = 5.33 \text{ eV}$, $E_h = 27.4 \text{ eV}$, $d_f = 115.8 \text{ nm}$ + exciton na 7 eV

fixováno: $N = 960 \text{ eV}^2$, $E_x = 12.5 \text{ eV}$, $\alpha_x = 0.3$

kvalita fitu: $\chi_E: 26.1 \rightarrow 10.9$

Experiment: odezva od elektronů – fit #2



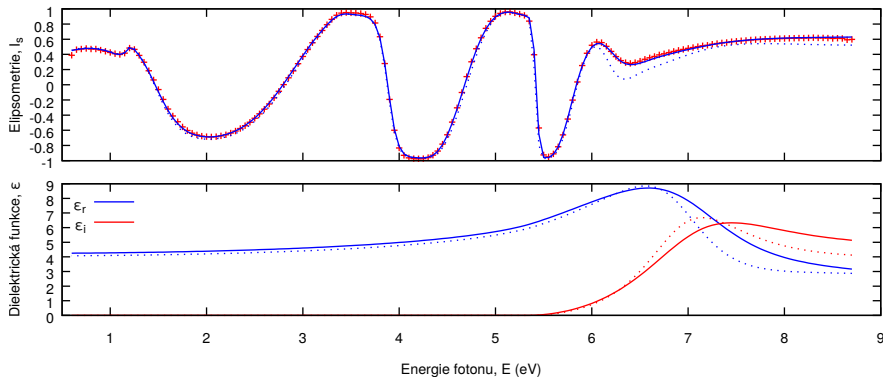
volné“ $E_g = 5.33 \text{ eV}$, $E_h = 27.4 \text{ eV}$, $d_f = 115.8 \text{ nm}$ + exciton na 7 eV

fixováno: $N = 960 \text{ eV}^2$, $E_x = 12.5 \text{ eV}$, $\alpha_x = 0.3$

kvalita fitu: $\chi_E: 26.1 \rightarrow 10.9$

oblast $E > E_g$ nelze zlepšit na třídě KK konzistentních modelů (chybí drsnost)

Experiment: odezva od elektronů – fit #3

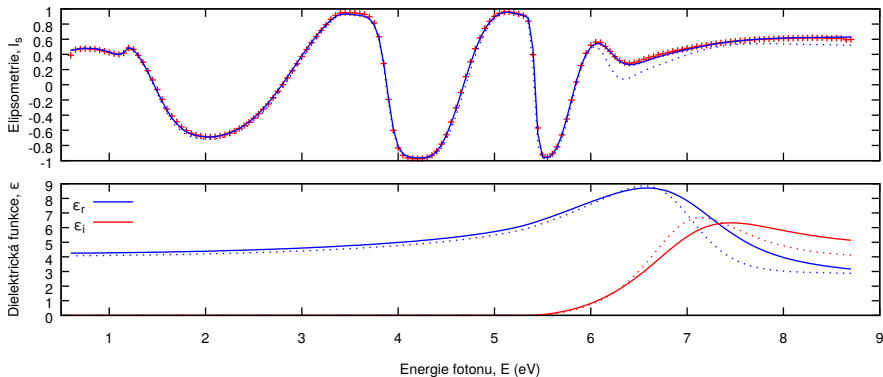


volné: $E_g = 5.32$ eV, $E_h = 25.6$ eV, $d_f = 112.7$ nm + exciton na 7 eV
 + drsnost ($\sigma/\tau = 1.6/3.6$ nm)

fixováno: $N = 960$ eV², $E_x = 12.5$ eV, $\alpha_x = 0.3$

kvalita fitu: $\chi_E: 26.1 \rightarrow 10.9 \rightarrow 4.07$

Experiment: odezva od elektronů – fit #3



volné: $E_g = 5.32$ eV, $E_h = 25.6$ eV, $d_f = 112.7$ nm + exciton na 7 eV

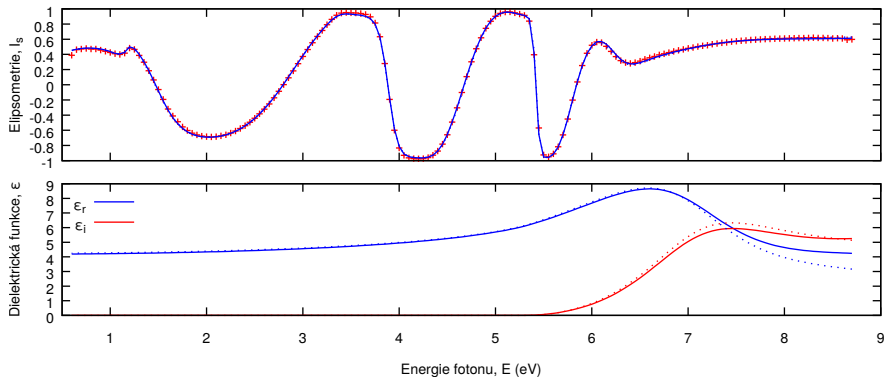
+ drsnost ($\sigma/\tau = 1.6/3.6$ nm)

fixováno: $N = 960$ eV², $E_x = 12.5$ eV, $\alpha_x = 0.3$

kvalita fitu: $\chi_E: 26.1 \rightarrow 10.9 \rightarrow 4.07$

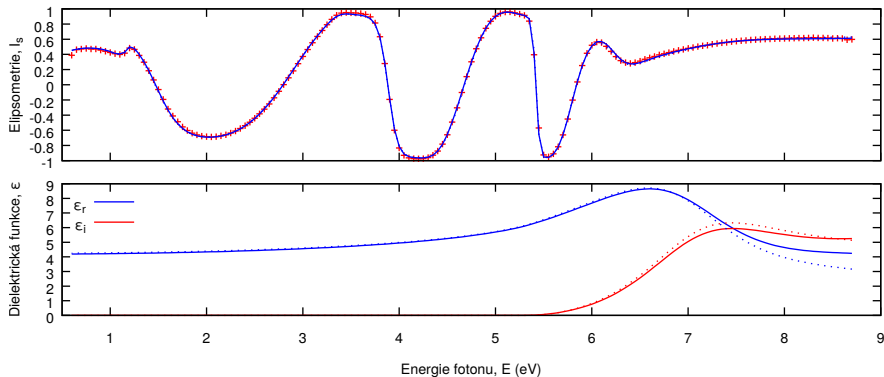
E_h poměrně vysoké

Experiment: odezva od elektronů – fit #4



volně: $E_g = 5.27 \text{ eV}$, $N = 764 \text{ eV}^2$, $d_f = 113.3 \text{ nm} + 2 \text{ excitony na } 7 \text{ a } 12 \text{ eV} + \text{ drsnost}$
 fixováno: $E_h = 20 \text{ eV}$, $E_x = 12.5 \text{ eV}$, $\alpha_x = 0.3$
 kvalita fitu: $\chi_E: 26.1 \rightarrow 10.9 \rightarrow 4.07 \rightarrow 3.51$

Experiment: odezva od elektronů – fit #4

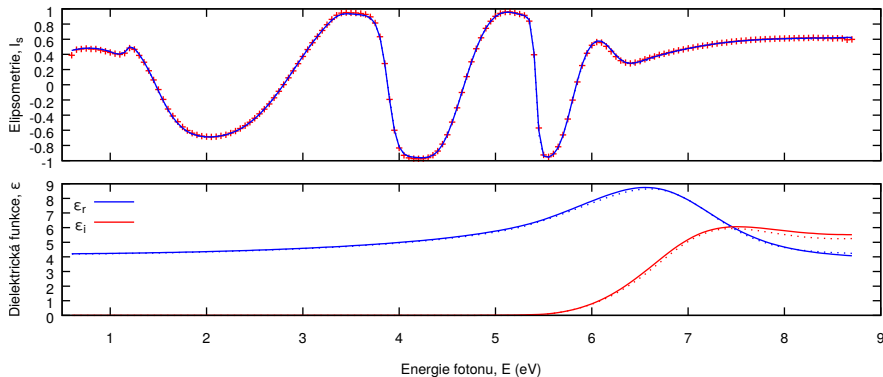


volně: $E_g = 5.27 \text{ eV}$, $N = 764 \text{ eV}^2$, $d_f = 113.3 \text{ nm} + 2 \text{ excitony na } 7 \text{ a } 12 \text{ eV}$ + drsnost
 fixováno: $E_h = 20 \text{ eV}$, $E_x = 12.5 \text{ eV}$, $\alpha_x = 0.3$

kvalita fitu: $\chi_E: 26.1 \rightarrow 10.9 \rightarrow 4.07 \rightarrow 3.51$

Dá se zlepšit transparentní oblast? Oblast zakázaných energií.

Experiment: odezva od elektronů – fit #5

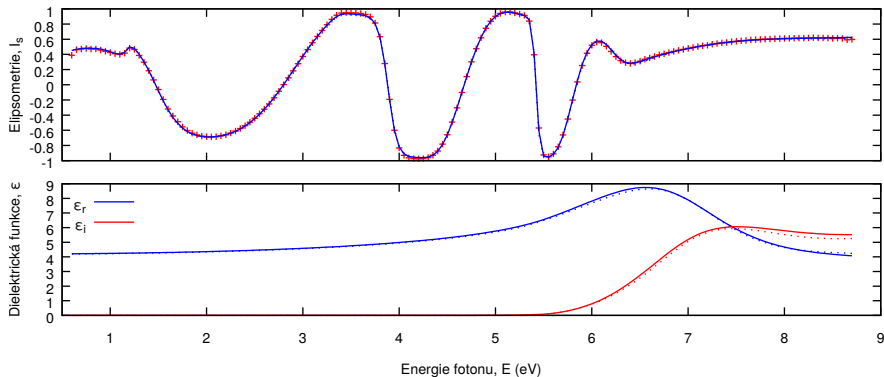


volné: $E_g = 5.43 \text{ eV}$, $N = 750 \text{ eV}^2$, $d_f = 111.8 \text{ nm} + 2 \text{ excitony na } 7 \text{ a } 12 \text{ eV} + \text{ drsnost} +$
Urbachův tail $E_u = 220 \text{ meV}$, $\alpha_u = 0.035$, **transition layer 3.1 nm**

fixováno: $E_h = 20 \text{ eV}$, $E_x = 12.5 \text{ eV}$, $\alpha_x = 0.3$

kvalita fitu: $\chi_E: 26.1 \rightarrow 10.9 \rightarrow 4.07 \rightarrow 3.51 \rightarrow 2.86$

Experiment: odezva od elektronů – fit #5

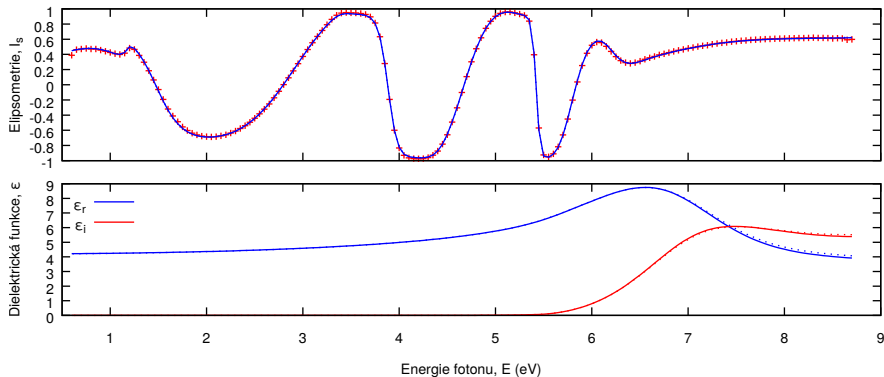


volné: $E_g = 5.43 \text{ eV}$, $N = 750 \text{ eV}^2$, $d_f = 111.8 \text{ nm} + 2 \text{ excitony na } 7 \text{ a } 12 \text{ eV} + \text{ drsnost} +$
Urbachův tail $E_u = 220 \text{ meV}$, $\alpha_u = 0.035$, **transition layer 3.1 nm**

fixováno: $E_h = 20 \text{ eV}$, $E_x = 12.5 \text{ eV}$, $\alpha_x = 0.3$

kvalita fitu: $\chi_E: 26.1 \rightarrow 10.9 \rightarrow 4.07 \rightarrow 3.51 \rightarrow 2.86$ **Co úhel dopadu?**

Experiment: odezva od elektronů – fit #6

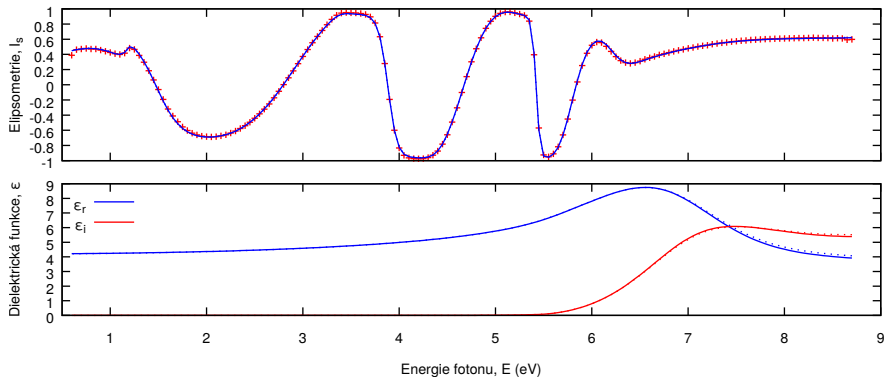


volné: $E_g = 5.44 \text{ eV}$, $N = 767 \text{ eV}^2$, $d_f = 112.0 \text{ nm} + 2 \text{ excitony na } 7 \text{ a } 12 \text{ eV} + \text{ drsnost} + \text{ Urbachův tail}$, transition layer 2.9 nm , **úhel dopadu $70^\circ \rightarrow 69.8^\circ$**

fixováno: $E_h = 20 \text{ eV}$, $E_x = 12.5 \text{ eV}$, $\alpha_x = 0.3$

kvalita fitu: $\chi_E: 26.1 \rightarrow 10.9 \rightarrow 4.07 \rightarrow 3.51 \rightarrow 2.86 \rightarrow 2.40$

Experiment: odezva od elektronů – fit #6



volně: $E_g = 5.44$ eV, $N = 767$ eV², $d_f = 112.0$ nm + 2 excitony na 7 a 12 eV + drsnost + Urbachův tail, transition layer 2.9 nm, **úhel dopadu 70° → 69.8°**

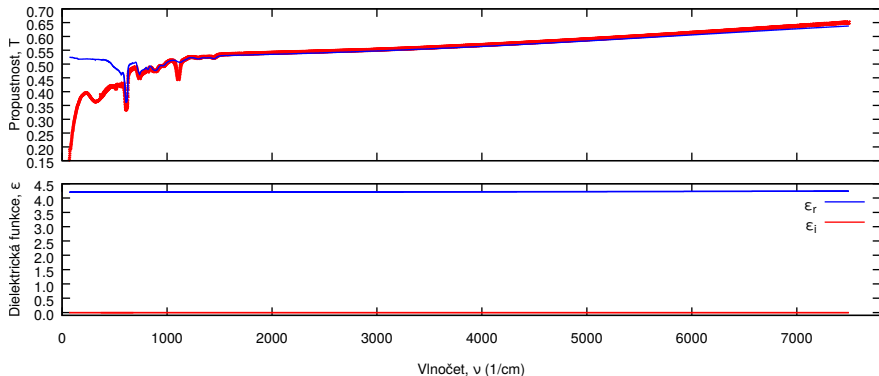
fixováno: $E_h = 20$ eV, $E_x = 12.5$ eV, $\alpha_x = 0.3$

kvalita fitu: χ_E : 26.1 → 10.9 → 4.07 → 3.51 → 2.86 → 2.40 **minimální hodnota ≈ 2**

Obsah

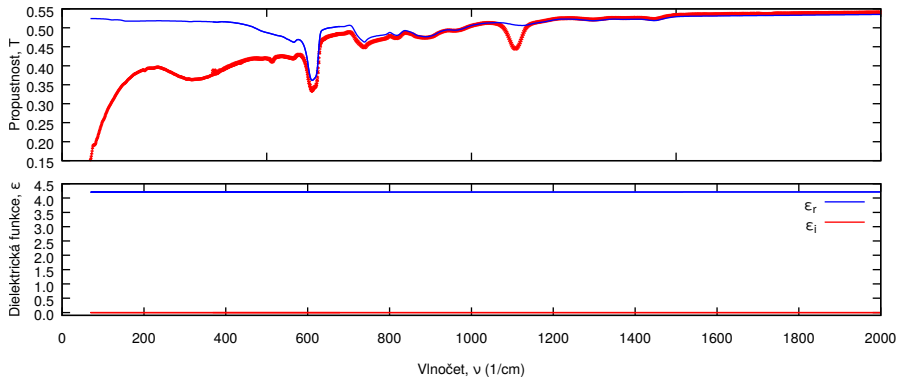
- 1 Oblast použitelnosti modelu
- 2 Sumační pravidlo
- 3 Experiment: odezva od elektronů – elipsometrie NIR–VUV
- 4 Experiment: odezva od fononů – propustnost FIR–NIR**
- 5 Experiment: odrazivost UV–VUV
- 6 Shrnutí

Experiment: odezva od fononů



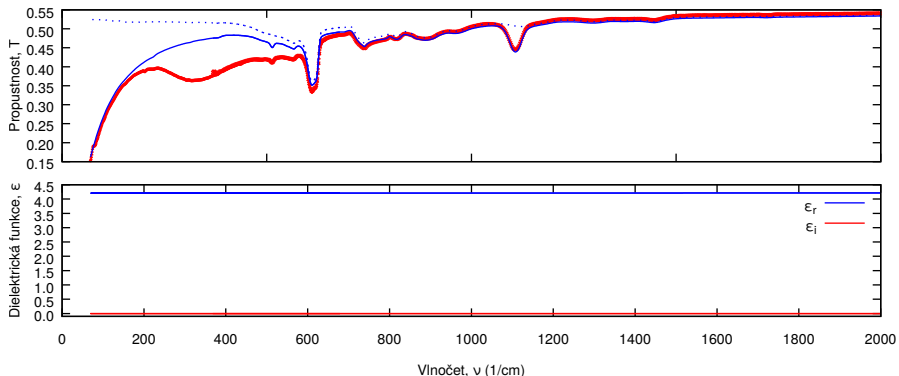
Použijeme stejné parametry jako ve Fitu #6 (nad 1200 cm^{-1} propustnost sedí pěkně).

Experiment: odezva od fononů



Použijeme stejné parametry jako ve Fitu #6 (nad 1200 cm^{-1} propustnost sedí pěkně).

Experiment: odezva od fononů



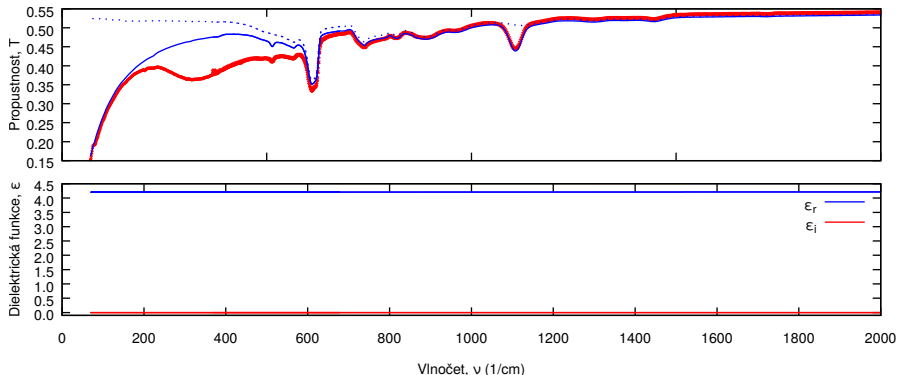
Použijeme stejné parametry jako ve Fitu #6 (nad 1200 cm^{-1} propustnost sedí pěkně).

Je nutné změnit parametry substrátu.

$f_0 = 20 \text{ ppm}$ (typická hodnota pro Czochralski křemík),

$f_p = 0.7 \text{ ppm}$ (odpovídá přibližně koncentraci fosforu v Si26: $0.48 \Omega\text{cm}$)

Experiment: odezva od fononů



Použijeme stejné parametry jako ve Fitu #6 (nad 1200 cm^{-1} propustnost sedí pěkně).

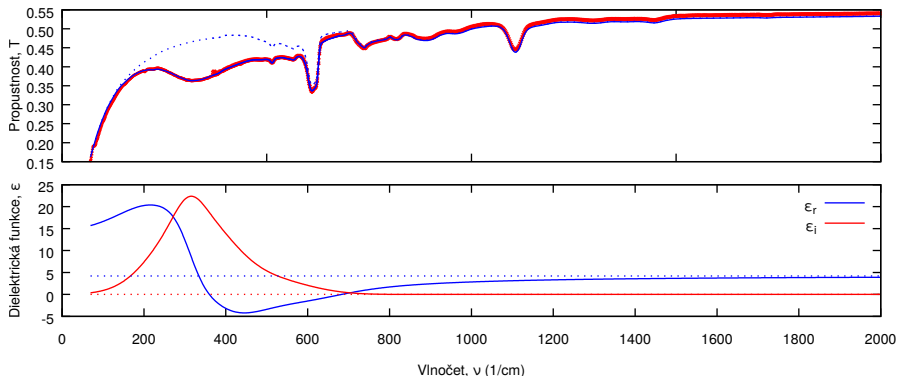
Je nutné změnit parametry substrátu.

$f_0 = 20 \text{ ppm}$ (typická hodnota pro Czochralski křemík),

$f_p = 0.7 \text{ ppm}$ (odpovídá přibližně koncentraci fosforu v Si26: $0.48 \Omega\text{cm}$)

Propustnost nesedí pouze v oblasti $200\text{--}700 \text{ cm}^{-1}$, tj. v oblasti jednofononové absorpce HfO_2 .

Experiment: odezva od fononů – fit #7



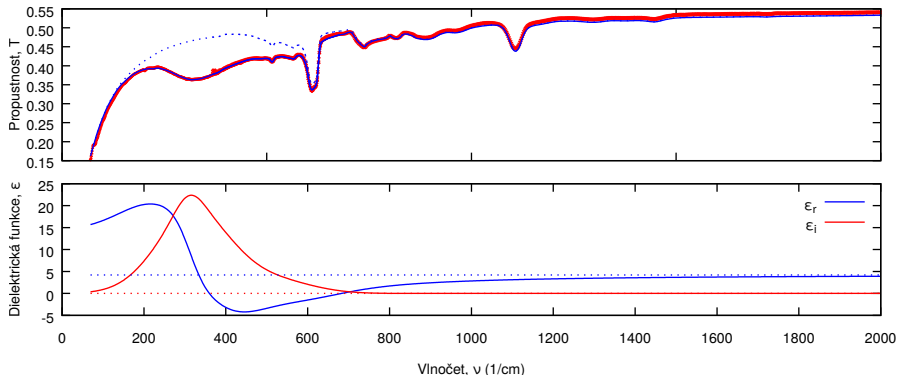
Modelujeme pomocí 3 gaussovských píků.

kvalita fitu:

$\chi_{T-\text{MIR}}$: 13.6 \rightarrow 12.4

$\chi_{T-\text{FIR}}$: 268 \rightarrow 4.52

Experiment: odezva od fononů – fit #7



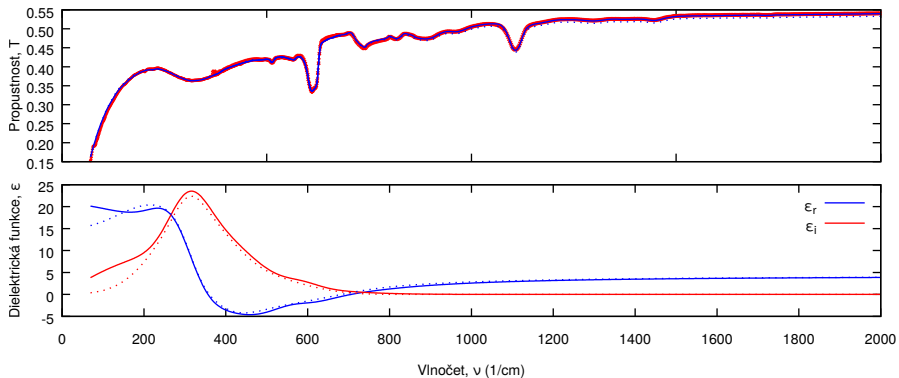
Modelujeme pomocí 3 gaussovských píků.

kvalita fitu:

χ_{T-MIR} : 13.6 \rightarrow 12.4 [Offset v T-MIR](#)

χ_{T-FIR} : 268 \rightarrow 4.52

Experiment: odezva od fononů – fit #8



4 gaussovské píky

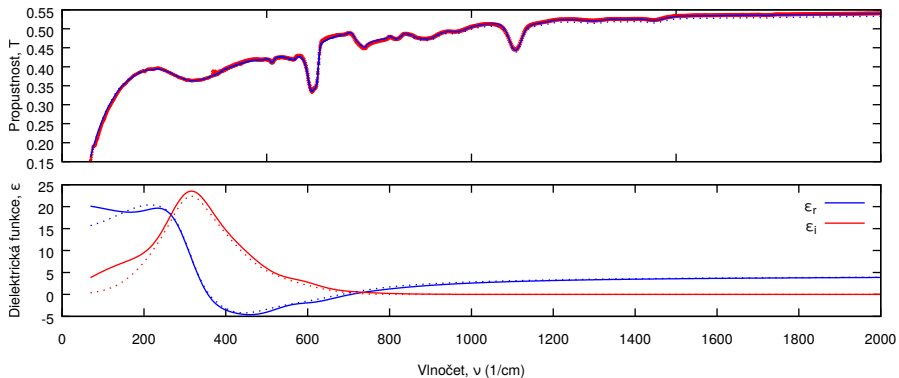
Offset: 1.0107

kvalita fitu:

$\chi_{T-\text{MIR}}$: 12.4 \rightarrow 12.4 \rightarrow 1.15

$\chi_{T-\text{FIR}}$: 151 \rightarrow 4.52 \rightarrow 3.25

Experiment: odezva od fononů – fit #8



4 gaussovské píky

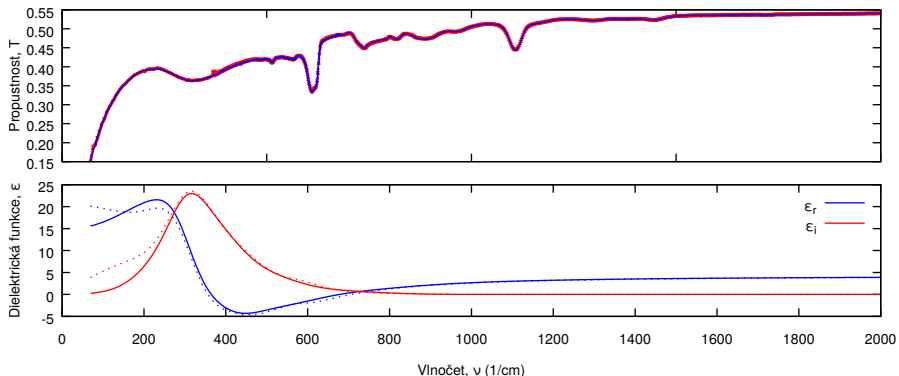
Offset: 1.0107

kvalita fitu:

χ_{T-MIR} : 12.4 \rightarrow 12.4 \rightarrow 1.15

χ_{T-FIR} : 151 \rightarrow 4.52 \rightarrow 3.25 **Artefakt kolem 600 cm^{-1}**

Experiment: odezva od fononů – fit #9

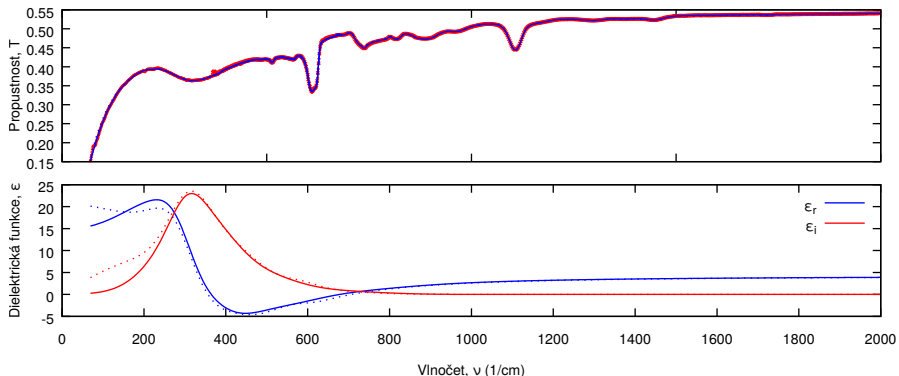


volné: tloušťka substrátu $d_s = 0.38 \rightarrow 0.393$ nm, $f_O = 20 \rightarrow 19.7$ ppm, $f_{Op} = 4.8\%$,
 $f_P = 0.7 \rightarrow 0.706$ ppm, všechny korekční parametry propustnosti
 kvalita fitu:

$\chi_{T-MIR}: 12.4 \rightarrow 12.4 \rightarrow 1.15 \rightarrow 0.317$

$\chi_{T-FIR}: 151 \rightarrow 4.52 \rightarrow 3.25 \rightarrow 1.87$

Experiment: odezva od fononů – fit #9

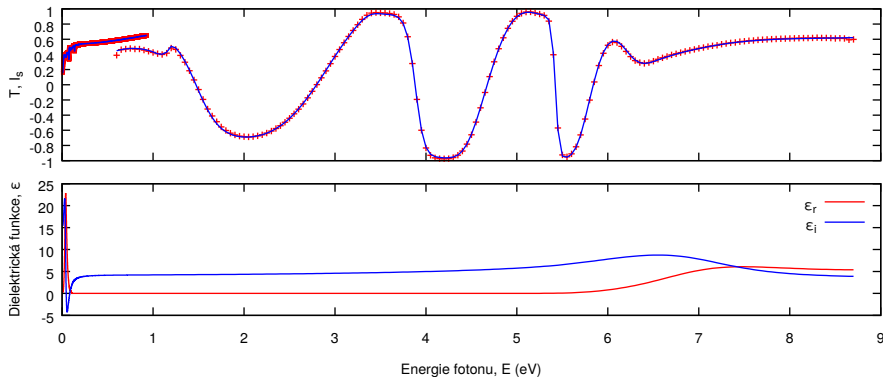


volné: tloušťka substrátu $d_s = 0.38 \rightarrow 0.393$ nm, $f_O = 20 \rightarrow 19.7$ ppm, $f_{Op} = 4.8\%$,
 $f_P = 0.7 \rightarrow 0.706$ ppm, všechny korekční parametry propustnosti
 kvalita fitu:

$\chi_{T-MIR}: 12.4 \rightarrow 12.4 \rightarrow 1.15 \rightarrow 0.317$

$\chi_{T-FIR}: 151 \rightarrow 4.52 \rightarrow 3.25 \rightarrow 1.87$ Artefakt kolem 600 cm^{-1} zmizel.

Experiment: kompletní odezva – fit #10



Fit elektronové i fononové části.

kvalita fitu:

χ_E : 26.1 \rightarrow 10.9 \rightarrow 4.07 \rightarrow 3.51 \rightarrow 2.86 \rightarrow 2.40 \rightarrow 2.41

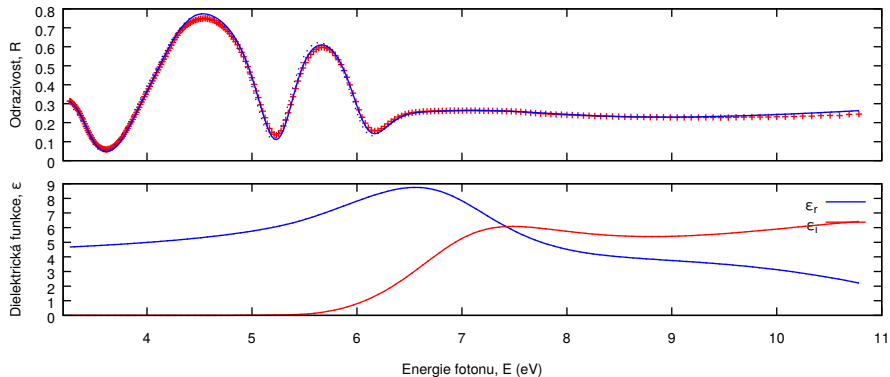
χ_{T-MIR} : 12.4 \rightarrow 12.4 \rightarrow 1.15 \rightarrow 0.317 \rightarrow 0.290

χ_{T-FIR} : 151 \rightarrow 4.52 \rightarrow 3.25 \rightarrow 1.87 \rightarrow 1.86

Obsah

- 1 Oblast použitelnosti modelu
- 2 Sumační pravidlo
- 3 Experiment: odezva od elektronů – elipsometrie NIR–VUV
- 4 Experiment: odezva od fononů – propustnost FIR–NIR
- 5 Experiment: odrazivost UV–VUV**
- 6 Shrnutí

Experiment: kompletní odezva – fit #11

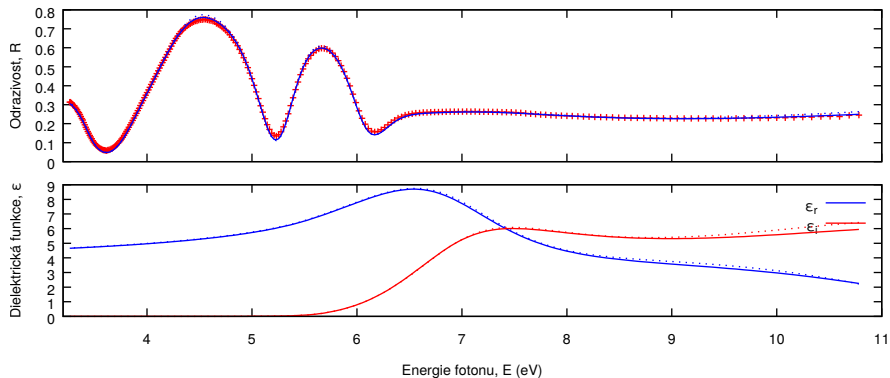


Je nutné předpokládat různé tloušťky pro elipsometrická a spektrofotometrická data.

$d_{f,E} = 111.9 \text{ nm}$, $d_{f,R} = 110.8 \text{ nm}$

kvalita fitu: $\chi_R: 7.30 \rightarrow 3.46$

Experiment: kompletní odezva – fit #12

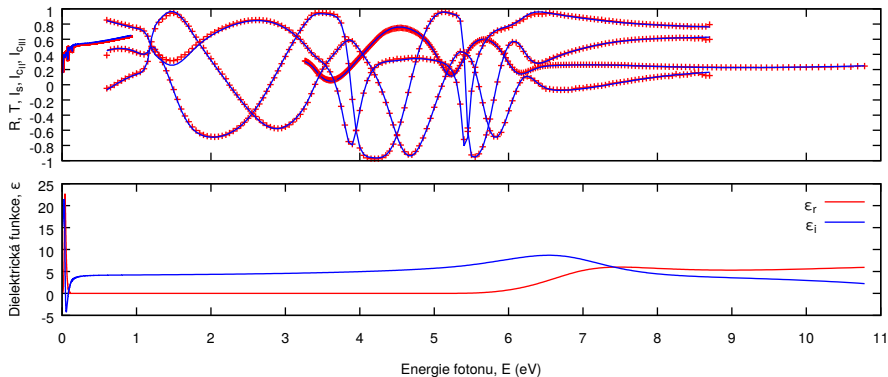


Konečný fit reprezentuje simultánní fit všech experimentálních dat pomocí všech parametrů (47) jako v předchozích fitech.

kvalita fitu:

χ_R : 7.30 \rightarrow 3.46 \rightarrow 2.32

Experiment: kompletní odezva – fit #12



Konečný fit jen mírně zhoršil proložení elipsometrických dat, tj. snížily se korelace a zvěrohodnil se výsledek.

kvalita fitu:

χ_E : 26.1 \rightarrow 10.9 \rightarrow 4.07 \rightarrow 3.51 \rightarrow 2.86 \rightarrow 2.40 \rightarrow 2.41 \rightarrow 2.47

χ_R : 7.30 \rightarrow 3.46 \rightarrow 2.35, χ_{T-MIR} a χ_{T-FIR} beze změn

Obsah

- 1 Oblast použitelnosti modelu
- 2 Sumační pravidlo
- 3 Experiment: odezva od elektronů – elipsometrie NIR–VUV
- 4 Experiment: odezva od fononů – propustnost FIR–NIR
- 5 Experiment: odrazivost UV–VUV
- 6 Shrnutí

Shrnutí

Kromě standardních výsledků, tj. optické konstanty, tloušťka, drsnost, šířka zakázaného pásu atd. můžeme z disperzního modelu získat následující informace:
Efektivní vs. skutečný počet valenčních elektronů:

$$n_{\text{ve}} = \frac{N}{N_{\text{a}}} = \frac{769}{180} \approx 4.3 \quad \frac{769}{148} \approx 5.2 \quad n_{\text{ve}} = \frac{4 + 2 \cdot 6}{3} \approx 5.3$$

Příspěvek fononové části do sumy:

$$\alpha_{\text{ph}} = 0.141 \quad \implies \quad N_{\text{ph}} = 0.03 \text{ eV}^2 \quad \text{vs.} \quad N_{\text{n}} = 1.22 \text{ eV}^2$$

Fonony přispívají jen 2.5% nukleonové částí sumy

Příspěvek fononové části do statické permitivity:

$$\varepsilon(0) = 14.46 \quad \text{vs.} \quad \varepsilon_{\text{ee}}(0) = 4.21 \quad \implies \quad \varepsilon_{\text{ph}}(0) = 10.25$$

Drsnost:

$$\sigma/\tau = 1.57/2.99 \text{ nm} \quad \text{z AFM: } \sigma/\tau = 0.56/6.29 \text{ nm}$$

Pro zvýšení věrohodnosti v oblasti $E > 10 \text{ eV}$ je nutné rozšířit měření do vyšších energií.